

**Zeitschrift:** Schweizerische Bauzeitung  
**Herausgeber:** Verlags-AG der akademischen technischen Vereine  
**Band:** 83 (1965)  
**Heft:** 15

**Artikel:** Der Brand des Lagergebäudes Dätwyler in Altdorf  
**Autor:** Schneider, Johannes  
**DOI:** <https://doi.org/10.5169/seals-68131>

#### **Nutzungsbedingungen**

Die ETH-Bibliothek ist die Anbieterin der digitalisierten Zeitschriften auf E-Periodica. Sie besitzt keine Urheberrechte an den Zeitschriften und ist nicht verantwortlich für deren Inhalte. Die Rechte liegen in der Regel bei den Herausgebern beziehungsweise den externen Rechteinhabern. Das Veröffentlichen von Bildern in Print- und Online-Publikationen sowie auf Social Media-Kanälen oder Webseiten ist nur mit vorheriger Genehmigung der Rechteinhaber erlaubt. [Mehr erfahren](#)

#### **Conditions d'utilisation**

L'ETH Library est le fournisseur des revues numérisées. Elle ne détient aucun droit d'auteur sur les revues et n'est pas responsable de leur contenu. En règle générale, les droits sont détenus par les éditeurs ou les détenteurs de droits externes. La reproduction d'images dans des publications imprimées ou en ligne ainsi que sur des canaux de médias sociaux ou des sites web n'est autorisée qu'avec l'accord préalable des détenteurs des droits. [En savoir plus](#)

#### **Terms of use**

The ETH Library is the provider of the digitised journals. It does not own any copyrights to the journals and is not responsible for their content. The rights usually lie with the publishers or the external rights holders. Publishing images in print and online publications, as well as on social media channels or websites, is only permitted with the prior consent of the rights holders. [Find out more](#)

**Download PDF:** 09.02.2026

**ETH-Bibliothek Zürich, E-Periodica, <https://www.e-periodica.ch>**

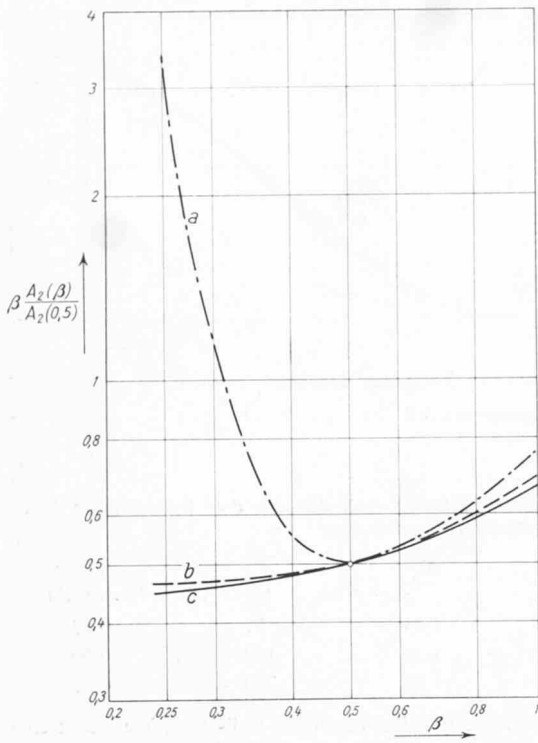


Bild 8. Abhängigkeit der bezogenen quadratischen Regelflächen von der Last  
 a) feste Reglereinstellung, für Halblast optimiert  
 b) nur Nachstellzeit  $T_n$  angepasst  
 c) Reglereinstellung ( $T_n$  und  $K_o$ ) lastabhängig optimiert

Zum Vergleich sind die bezogenen Regelflächen für die drei betrachteten Fälle in Bild 8 in logarithmischem Massstab nochmals dargestellt. Es zeigt sich dabei zunächst in Übereinstimmung mit den allgemeinen Überlegungen, dass durch das alleinige Anpassen der Nachstellzeit  $T_n$  über den ganzen Lastbereich praktisch optimale Verhältnisse erzielt werden. Ein zusätzliches Anpassen des Proportionalbereiches lohnt sich zweifellos nicht mehr. – Weiter zeigt Bild 8, dass sich bei unveränderter Reglereinstellung erhebliche Abweichungen vom optimalen Regelverlauf ergeben, namentlich im Schwachlastgebiet, und dass hier unter Umständen sogar die Stabilität in Frage gestellt wird. Natürlich besteht die Möglichkeit, die Optimie-

rung in diesem Fall für noch etwas niedrigere Last als  $\beta = 0,5$  vorzunehmen. Dann werden indessen die Verhältnisse bei Vollast rasch schlechter, was namentlich im Hinblick auf die in diesem Bereich liegende grösste Häufigkeit des Betriebes unerwünscht ist.

Ob eine selbsttätige Anpassung der Nachstellzeit – und gegebenenfalls auch der Vorhaltzeit – sich lohnt, ist wohl nicht allgemein, sondern nur von Fall zu Fall zu entscheiden. Massgebend sind hierbei vor allem der auszufahrende Lastbereich sowie die Häufigkeitsverteilung der Belastung. Bei immer wieder auftretendem längeren Schwachlastbetrieb dürfte eine solche Anpassung wesentliche Vorteile bringen.

#### Verzeichnis der Symbole

$A$	Ausgleichsfläche
$A_2$	Quadratische Regelfläche
$A_D$	Lichter Rohrquerschnitt
$A_R$	Rohrringquerschnitt
$c_D$	Spezifische Wärme des Dampfes bei konstantem Druck
$c_R$	Spezifische Wärme des Rohrmaterials
$K_o$	Kreisverstärkung
$L$	Rohrlänge
$m_R$	Überhitzerrohrmasse
$M_D$	Dampfstrom
$Q$	Wärmestrom zum Überhitzer
$t$	Zeit
$T_n$	Nachstellzeit
$T_v$	Vorhaltzeit
$T_R, T_s$	Zeitkenngroßen
$U$	Innerer Rohrumfang
$w$	Strömungsgeschwindigkeit des Dampfes
$\alpha$	Wärmeübergangszahl
$\beta$	Belastungsgrad des Kessels
$\gamma(t)$	Übergangsfunktion
$\vartheta_e, \vartheta_a$	Ein- bzw. Austrittstemperatur
$\zeta_D$	Überhitzer-Kenngroesse
$\varrho_D$	Dichte des Dampfes
$\varrho_R$	Dichte des Rohrmaterials

#### Literaturverzeichnis

- [1] Profos, P.: Die Regelung von Dampfanlagen. Springer-Verlag 1962.  
 [2] Schmidt, E.: Einführung in die technische Thermodynamik. Springer-Verlag 1962.

## Der Brand des Lagergebäudes Dätwyler in Altdorf

DK 614.841.4:624.012.4

In der Nacht vom 8. auf den 9. Mai 1963 wurde das 1960/61 erstellte Lagerhaus der Firma Dätwyler AG in Altdorf, ein viergeschossiger Eisenbeton-Skelettbau von  $72 \times 35$  m Grundfläche, durch eine Feuersbrunst vollständig zerstört. Die in ihrem Ausmasse und in der Art der Brandschäden wohl einzig dastehende Brandkatastrophe unseres Landes gab dem Brand-Verhütungs-Dienst für Industrie und Gewerbe (BVD) Veranlassung, die Wahrnehmungen über die Brandschäden und die daraus gezogenen Schlüsse in einem äusserst instruktiven und gut bebilderten Bulletin zu veröffentlichen (20. Jahrgang, H. 2, 64 S., 55 Abb., Preis Fr. 4.50. Zu beziehen beim BVD, 8001 Zürich, Nüscherstrasse 45). Dieses richtet sich besonders an Brandschutz- und Baufachkreise, in diesen Spalten vor allem an den Eisenbetonspezialisten.

Die aussergewöhnliche Rauchentwicklung erschwerte und verzögerte die Löschaktion, so dass bei der überaus grossen Hitze das Gebäude die Feuerprobe im wahrsten Sinne des Wortes leider nicht bestand. Die der Projektierung des Eisenbetonbaues zugrundegelegten Annahmen über Brandzeit, Brandtemperatur und Feuerbeständigkeit wurden überschritten, so dass Dimensionierung und Ausführungsart einzelner Bauteile nicht genügten. Wenn auch bedauerlich für den Brandgeschädigten, ist dieser extreme Brandfall für den Fachmann ein willkommenes Objekt zur Erweiterung seiner Kenntnisse über das

Verhalten des Eisenbetons gegenüber Hitze und Feuer. In der Publikation werden ihre nachteiligen Auswirkungen auf dünne Halbstützen und auf Normalstützen, bei denen neben dem Mass der Querschnittsfläche auch deren Form massgebend ist, erwähnt. Dilatationsfugen in der Decke, Rohrdurchbrüche und Kabeldurchgänge in dieser bilden Wärme- und Feuerbrücken zum darüberliegenden Stockwerk. Durch den Brand zerstörte Fenster und Verglasungen der Außenwände führen zur Übertragung des Feuers auf die oberen Geschosse. Spreng-, Stauch- und Scherwirkungen am Eisenbeton sind im Bilde äusserst eindrücklich festgehalten.

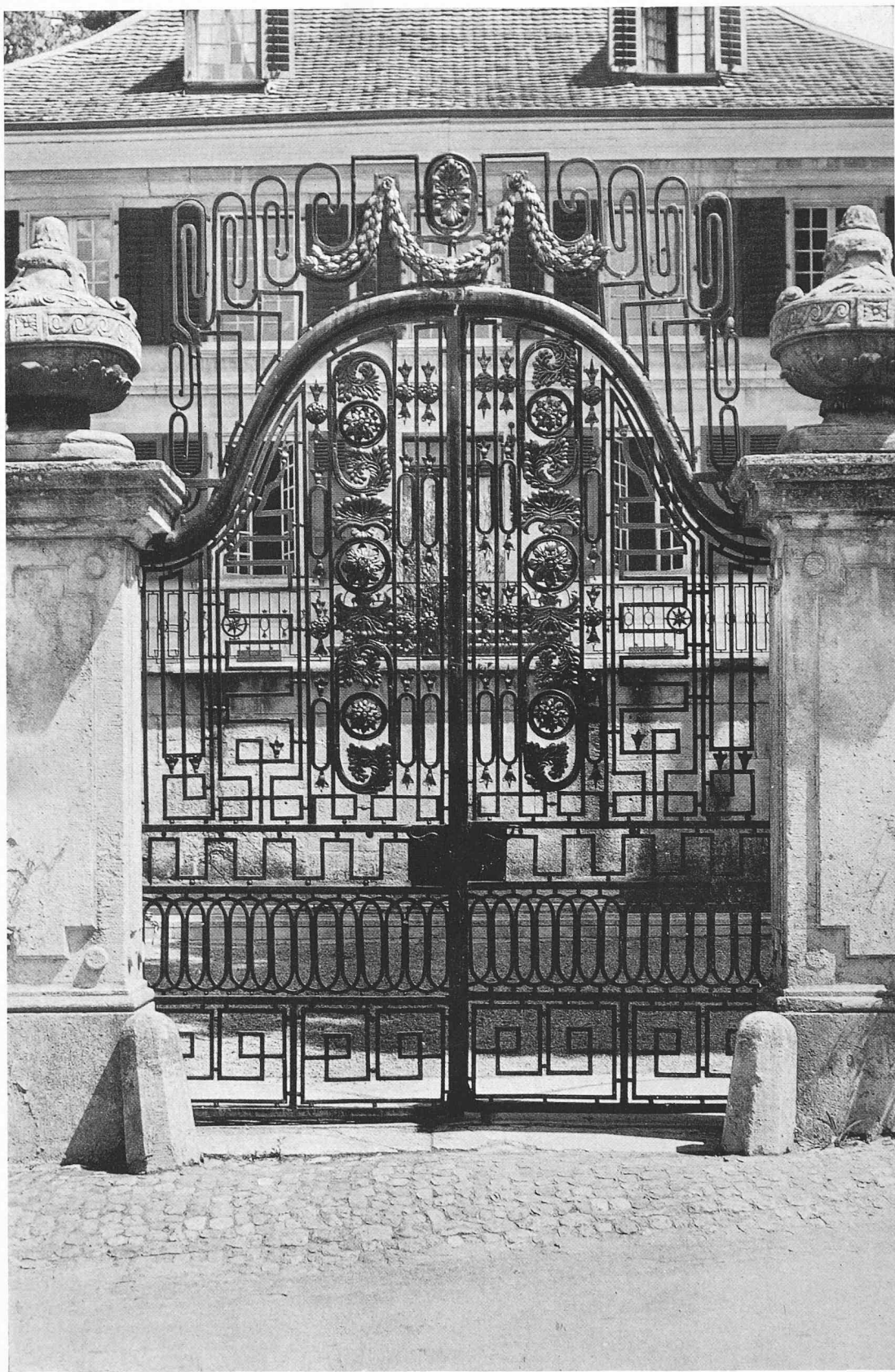
Alles in allem zeigt es sich, dass es bei der Feuerwiderstandsfähigkeit der Bauteile aus Eisenbeton allein mit mindestens 90 Minuten Widerstandsdauer nicht getan ist. Es ist den vorstehend erwähnten Konstruktionsarten und deren Verhalten im Brandfall bei der Projektierung Rechnung zu tragen. Bei einem Lagerhaus vor allem ist die sog. «Feuerbelastung», der Heizwert aller im Gebäude vorhandenen brennbaren Materialien (Gebäude und Inhalt) je Einheit der Bodenfläche, in erster Linie zu berücksichtigen. Die Wirtschaftlichkeit der Bauausführung wird wohl aber auch hier den Extremfällen eine obere Grenze setzen.

Johannes Schneider, dipl. Bau-Ing., Zürich, Münstergasse 11

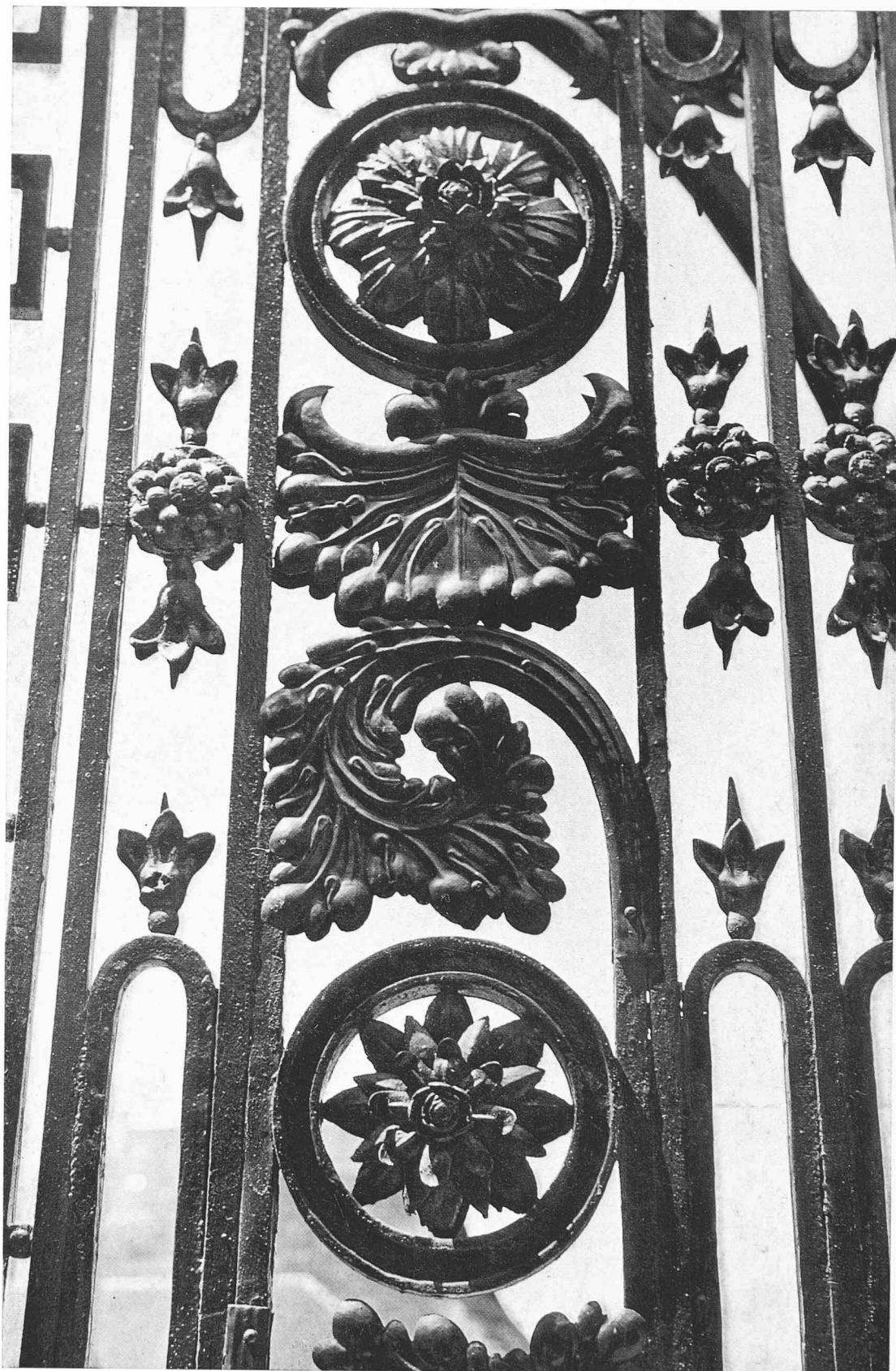


Klosterkirche Fischingen TG (Tafel 64). Trennungsgitter zur angebauten Iddakapelle 1743—1745 vom Konstanzer Stadtschlosser Joh. Jakob Hoffner

Gitter von Lea Carl. Aus der Schriftenreihe «Die Architektur der Schweiz», Verlag Berichthaus, Zürich 1964



Gartenportal Burghalde in Lenzburg (Tafel 132) 1793/94 mit barocken und klassizistischen Stilformen (Joh. Rud. Dolder)



Einzelheiten zum Gartenportal Burghalde in Lenzburg (Tafel 135). «Im Gegensatz zur wuchernden Wildnis im spätbarocken Gitter halten sich im fröhklassizistischen pflanzliche Vitalität und geometrische Ordnung die Waage»



Rathaus Bischofszell 1747—1750 (Tafel 74). Freitreppegeländer (Isaak Lauchenauer, Bischofszell), Fenstergitter und Balkongeländer (Benjamin Wehrli, Bischofszell)

Die Bildproben sind dem Werk «Gitter» entnommen mit freundlicher Erlaubnis des Verlages Berichthaus, Zürich. Photos von Lea Carl, Zürich